

# **SURSE DE ALIMENTARE IN IMPULSURI FOLOSITE PENTRU DESCARCARI ELECTRICE DE TIP PLASMA RECE**

**Autor: Astanei Dragos-George  
Coordonator: Sef lucr. dr. ing. Hnatiuc Bogdan**

**Universitatea Tehnica „Gheorghe Asachi” din Iasi  
Facultatea de Inginerie Electrica, Energetica si Informatica Aplicata  
Departamentul Bazale Electrotehnicii**

**Rezumat.** Descarcarile electrice de tip plasma rece presupun utilizarea unei inalte tensiuni si a unui curent electric de valori reduse. Inalta tensiune este necesara in vederea producerii unor specii chimice active folosite in mod eficient pentru aplicatiile electrochimice dorite. Limitarea curentului electric, care determina caracterul de plasma rece al descarcarii, se realizeaza de obicei prin constructia bobinelor de inductie. Lucrarea va trece in revista principiile de functionare ale unor surse de comanda in impulsuri de joasa si medie frecventa cu detalierea uneia dintre ele, de tip microsistem, bazata pe microcontrollerul AT89S52.

## **1. INTRODUCERE**

Prin incalzirea treptata a unei anumite substante are loc trecerea gradata a acesteia din starea solida in cea lichida si apoi in cea gazoasa. Pentru orice gaz procesul de incalzire poate continua, putand conduce la dezintegrarea moleculelor in atomi si a acestora in electroni si ioni. Daca temperatura gazului ajunge suficient de ridicata, acesta trece in a patra stare de agregare a materiei si anume plasma. In aceasta stare, atomii isi pierd complet invelisul electronic, obtinandu-se un amestec de nuclee si electroni liberi [1], [3], [8].

Plasma rece poate fi definita ca fiind un sistem fizic in componenta caruia intra particule neutre (atomice sau molecularare), particule incarcate pozitiv sau negativ (ioni atomici sau moleculari) si fotoni. Principala caracteristica a plasmei (si differenta fata de un gaz ionizat oarecare) este prezenta in amestec a sarcinilor electrice libere. Starea de plasma poate fi produsa pe cale termica prin realizarea unor temperaturi inalte sau prin actiunea unor campuri electrice sau magnetice foarte puternice [9].

## **2. TIPURI DE DESCARCARI ELECTRICE DE TIP PLASMA RECE PRODUSE DE SURSE DE ALIMENTARE IN IMPULSURI**

Daca se considera caracteristica tensiune - curent,  $U(I)$ , proprie descarcarilor in gaze se pot identifica tipurile posibile de descarcati electrice numite  $\ddot{\text{s}}\text{plasma rece}\ddot{\text{o}}$  dintre care amintim: descarcati de tip Corona, descarcati de tip bariera dielectrica (DBD), descarcati de tip scanteie, descarcati electrice alunecatoare (GlidArc sau arc rampant) [1].

Manifestarea descarcarilor electrice depinde natura gazului in care se produc, de parametrii termodinamici ai acestuia (presiune, temperatura, densitate de purtatori de sarcina), dar si de sursa de alimentare, respectiv de parametrii electrii ai circuitului.

Prin plasma rece se desemneaza, pe de o parte, descarcarea electrica pentru care temperatura absoluta este de circa 2000-3000 K, dar pe de alta parte se anunta faptul ca exista o diferență notabilă între temperatura electronilor și cea a ionilor, comparabilă de fapt cu temperatura gazului, fiind vorba despre o manifestare în afara echilibrului termodinamic, conform convențiilor specifice din fizica plasmei [2], [4].

Principalii parametri cat si conditiile de amorsare a descarcarilor electrice pentru diferite tipuri de descarcati sunt prezentate in Tab. 1, in care  $U$  reprezinta tensiune la care se poate produce descarcarea,  $I$  intensitatea curentului,  $p$  presiunea din incinta,  $T$  temperatura descarcati,  $\chi$  gradul de ionizare al plasmei si  $J$  densitatea de curent a plasmei.

Tab. 1. Principalii parametri si conditiile de amorsare pentru diverse tipuri de descarcari electrice [1].

Tipul descarcarii	U [kV]	I [A]	p [atm]	T [k]		J [A/cm <sup>2</sup> ]
Corona	>10	<10 <sup>-5</sup>	Öl	500	<10 <sup>-6</sup>	10 <sup>-9</sup>
DBD	100	<10 <sup>-3</sup>	Öl	500	<10 <sup>-5</sup>	10 <sup>-5</sup>
Luminescenta	5	0,1	Öl	<500	<10 <sup>-4</sup>	10 <sup>-3</sup>
GlidArc	5 - 20	1	1	2000	<10 <sup>-2</sup>	1 - 10 <sup>2</sup>
Arc electric	0,03 ó 0,05	10 - 10 <sup>3</sup>	1	>10000	10 <sup>-2</sup> - 1	10 <sup>2</sup> - 10 <sup>4</sup>

## 2.1. Descarcari de tip scanteie

Scanteia este definita ca o descarcare electrica in gaz produsa de-a lungul unui spatiu dintre cel putin doi electrozi. Descarcarea electrica in scanteie apare cand gazul se gaseste intr-un camp electric de intensitate egala sau mai mare decat intensitatea campului electric de strapungere a gazului respectiv. De exemplu, in cazul aerului aflat la presiune atmosferica, intensitatea campului electric de strapungere este de 30000 V/cm. Valoarea intensitatii campului electric de strapungere creste proportional cu presiunea gazului. Descarcarea electrica in scanteie are un caracter oscilant si complex; chiar la o tensiune constanta prezentandu-se sub forma unui fascicul de fire subtiri, stralucitoare care se ramifica in zig-zag. Temperatura gazului in canalul scanteii poate atinge 10<sup>4</sup> K. Incalzirea rapida a gazului conduce la o crestere puternica a presiunii gazului, fiind insotita de unde sonore si unde de soc mecanice [1], [9].



Fig. 1. Descarcare electrica de tip scanteie [10].

Daca forma electrozilor este astfel aleasa incat intre electrozi se genereaza un camp electric uniform (de exemplu, sfere cu diametru suficient de mare) atunci descarcarea in scanteie apare la o tensiune bine determinata, impusa de legea lui Paschen.

## 2.2. Descarcari de tip GlidArc

Descarcarile de tip řarc alunecatorö sau řarc rampantö (gliding arc) reprezinta descarcari de tip plasma situate la limita dintre plasmele termice si cele non-termice (reci), insa nu prezinta un echilibru din punct de vedere termodinamic precum plasma rece. In general, reactoarele utilizate pentru producerea de descarcari de tip GlidArc cuprind o incinta electroizolanta in care sunt plasati doi sau mai multi electrozi metalici cu profil divergent. La baza electrozilor, unde distanta dintre acestia este minima, se amorseaza o descarcare electrica ce se deplaseaza (aluneca) pe electrozi sub actiunea gazului de suflaj, a fortelor electromagnetice de contur si a efectului ascensional al gazelor calde din zona de descarcare (fenomenul de convectie termica). Gazul de suflaj poate fi aer, azot, oxigen, gaz inert etc., in functie de aplicatia dorita [5], [6], [7].

Caracterul de plasma rece al descarcarii de tip GlidArc este pastrat in principal datorita fenomenelor de deionizare prin difuzie, stimulate de suflajul axial cu gaz, care spala practic

descarcarea utila, injectarea acestui gaz realizandu-se printr-o duza convenabil calibrata, ce asigura viteze de intrare a gazului in reactorul electrochimic suficient de mari, de peste 10 m/s.

### 2.3. Descarcari de tip DBD

Descarcarile de tip bariera dielectrica (DBD) se obtin prin separarea a doi electrozi conectati la o sursa de inalta tensiune prin intermediul unuia sau a doua straturi de material dielectric (sticla, ceramica, teflon), dielectricul permitand evitarea trecerii descarcarii la regim de arc electric. Prezenta ecranului dielectric in vecinatatea electrozilor schimba distributia sarcinilor spatiale in zona favorizand descarcarile de tip DBD. O astfel de descarcare are particularitatea ca asigura, intr-un volum de dimensiuni relativ mici, un transfer de energie intre electrozii alimentati de la sursa de inalta tensiune si gazul din incinta, printr-un numar mare de canale de plasma, de ordinul sutelor, foarte fine, ce se manifesta simultan si realizeaza umplerea, totala sau parciala a spatiului dintre electrozi.

In momentul in care tensiunea aplicata electrozilor de la sursa de alimentare este suficient de mare, se pot produce fenomene de ionizare prin efect de avalansa. Electronii care se gasesc initial in gaz vor fi accelerati de catre campul electric si vor crea prin coliziunea cu particulele neutre pe care le intalnesc, noi electroni. Fenomenul este amplificat si se dezvolta apoi sub forma unei avalanse, constituind descarcarea electrica initiala, ce consta in propagarea sarcinilor electrice dupa liniile de camp electric prin multiple canale ionizate de microdescarcari.

Descarcarile de tip DBD se manifesta deci ca o plasma compusa dintr-o multime de filamente, cu avantajul, in raport cu alte descarcari de tip plasma rece, ca aceste canale exista simultan si se asigura astfel o buna omogenitate a plasmei [1].

## 3. SURSE DE ALIMENTARE IN IMPULSURI

Un exemplu de sursa de alimentare in impulsuri utilizata pentru descarcari de tip DBD este prezentat in Fig.2., sursa avand o frecventa de functionare de 1 pana la 20 kHz. Ea se aplica pe un reactor de producere a descarcarilor de tip DBD cu un singur strat de dielectric.

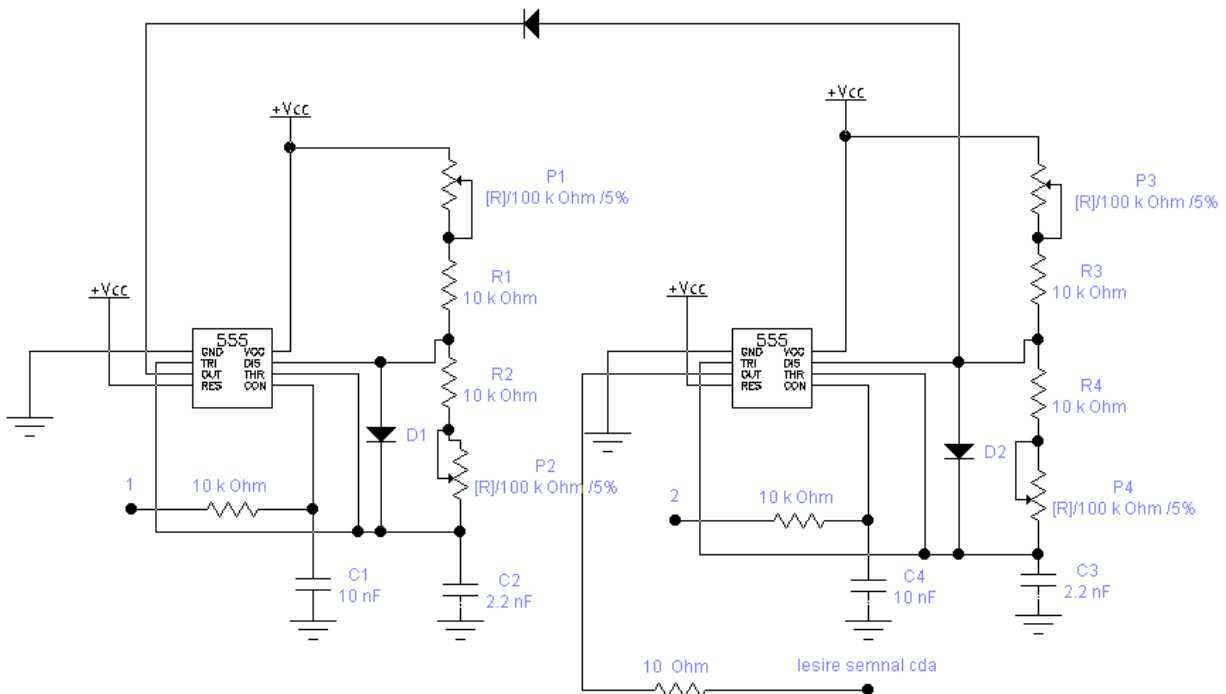


Fig. 2. Schema de principiu a unei surse de alimentare in impulsuri utilizata pentru descarcari electrice de tip DBD.

Sursa de comanda in impulsuri din Fig.3. poate fi utilizata pentru comanda unei descarcarii de tip GlidArc sau a unei scantei avand ca element principal mirocontrollerul de tip AT89S52.

Ea fost utilizata intr-un sistem de producere a descarcarilor electric de tip plasma rece alcătuit din: schema de comanda, bobina de inductie utilizata pe autovehicule si bujie. Montajul a fost implementat in cadrul unui proiect de cercetare ce are ca scop imbunatatirea sistemelor de aprindere a motoarelor termice.

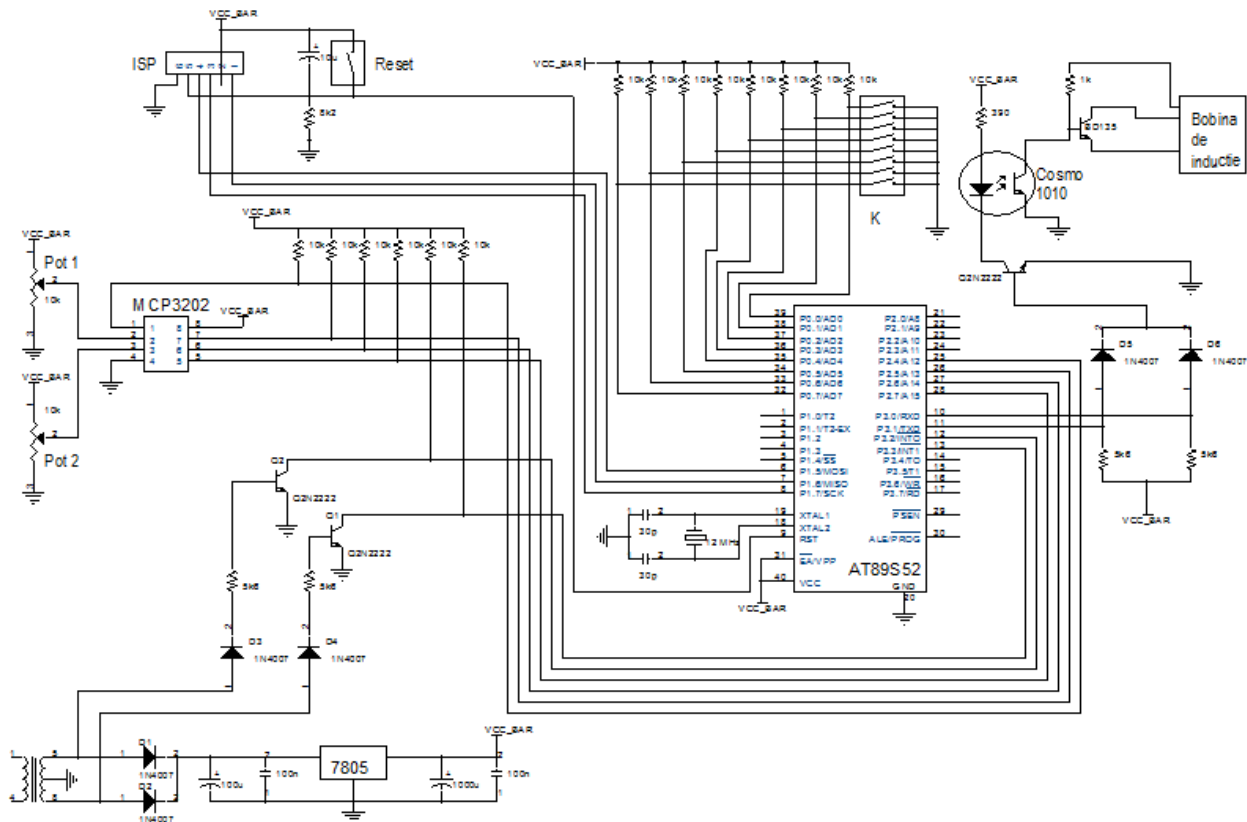


Fig. 3. Shema de principiu a sursei de comanda in impulsuri cu AT89S52.

Bobinele de inductie utilizate pe autovehicule pot functiona pana la o frecventa de aproximativ 300 Hz a impulsurilor de comanda, frecventa corespunzatoare unei turatii de 18000 rot/min a motorului termic, turatii ce nu sunt atinse de motoarele utilizate pe autovehiculele de serie. Din acest motiv sincronizarea sursei s-a ales fixa, la 100 Hz, corespunzatoare unei turatii a motorului termic de 600 rot/min. Sincronizarea se obtine din dublul frecventei tensiunii de alimentare de la retea utilizand un transformator cu doua secundare. Sincronizarea si, in consecinta, frecventa impulsurilor de comanda , poate fi si variabila, obtinuta cu ajutorul unui senzor inductiv montat in chiulasa motorului cu ardere interna sau de la un generator de impulsuri.

In Fig. 4. sunt prezentate formele de unda ale impulsurilor de sincronizare si de comanda pe o semiperioada. Acestea au fost preluate de la intrarea P3.2 si iesirea P3.0 ale microcontollerului. Prima trecere prin zero a semnalului de sincronizare (a tensiunii de alimentare) valideaza prima intrerupere a programului urmata de citirea semnalului de pe canalul 1 al convertorului analogic → digital MCP3202. Formarea impulsului de comanda se realizeaza cu o intarziere  $t_1$  ce se obtine prin citirea si conversia semnalului de la intrarea 1 (registrul R2, adresa 21h din cadrul programului implementat pe microcontroller) a convertorului. Intarzierea poate fi reglata prin intermediul potentiometrului notat Pot 1. Formarea impulsului de comanda de latime  $t_2$  se realizeaza prin citirea si conversia semnalului de la intrarea 2 a convertorului

(registrul R3, adresa 20h), latimea acestuia putand fi reglata prin intermediul potentiometrului Pot 2.

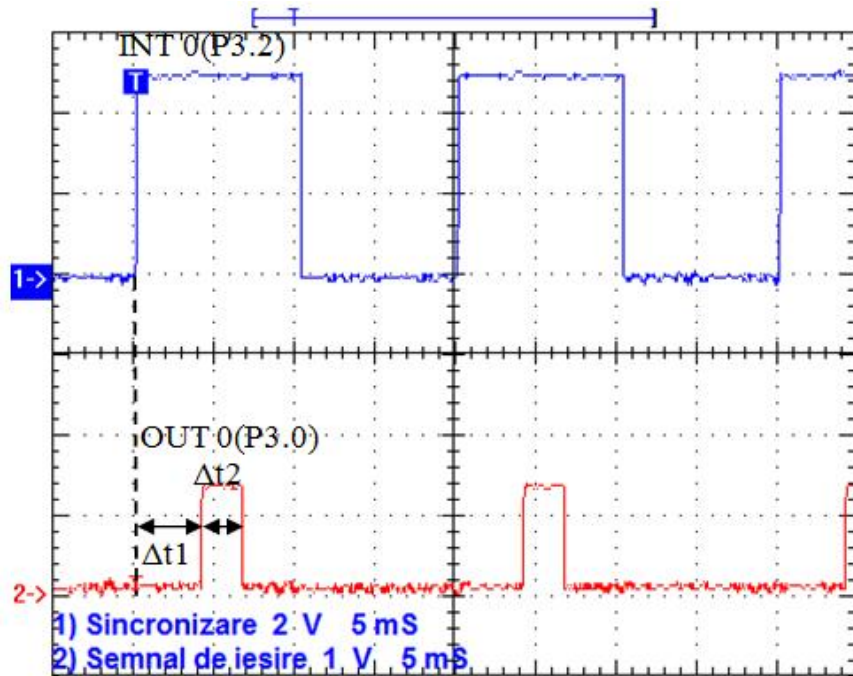


Fig. 4. Formele de unda ale impulsurilor de sincronizare si de comanda.

Implementand programe adecvate se pot obtine semnale de comanda cu doua impulsuri pe semiperioada prezentate in Fig. 4. S-au obtinut semnale cu  $t_1$  fix avand o latime de 1,68 ms,  $t_3$  fix de 1,72 ms si  $t_2$  variabil, pentru acesta considerandu-se valorile de 1 ms si 2 ms. O a doua forma a semnalului considera  $t_1$  si  $t_2$  fixe avand latimi de 0,8 ms respectiv 0,9 ms si  $t_3$  variabil. Pentru  $t_3$  s-au considerat in cea de-a doua configuratie latimi ale impulsului de 2,2 ms si 2,6 ms.

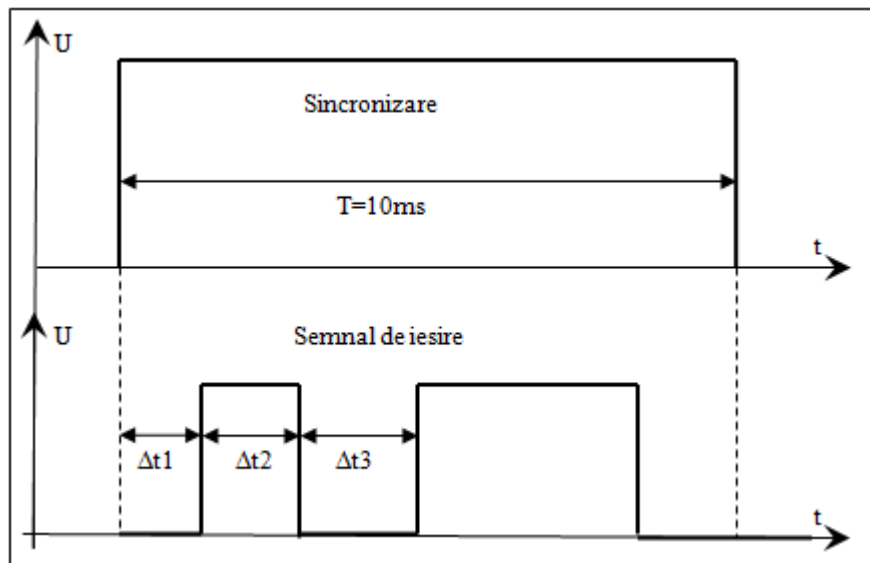


Fig. 4. Semnal de iesire cu doua impulsuri pe semiperioada.

Protectia software este asigurata de o functie aparte pe care o are implementata microcontollerul utilizat numita watchdog. Aceasta supravegheaza continuitatea executarii

programului prin intermediul unui numarator, in caz contrar resetand-ul. Algoritmul de lucru poate fi resetat si manual prin intermediul butonului notat „Resetö“. Protectia hardware este realizata de optocuploul Cosmo 1010 ce ofera o separare galvanica intre partea de comanda si partea de forta a sistemului impiedicand transmiterea tensiunilor inalte si a perturbatiilor spre modulul de comanda.

#### 4. CONCLUZII

Alaturi de optimizarea constructiei reactorului in care se produc descarcari electrice de tip plasma rece s-a dovedit ca un rol foarte important o au sursele de comanda in impulsuri care asigura un randament mult mai ridicat fata de sursele de alimentare de curent continuu sau curent alternativ (de forta), in special pentru aplicatii electrochimice ce folosesc instalatii de dimensiuni mici.

Pentru unele tipuri de descarcari electrice (in special cele de tip DBD) este importanta asigurarea unei plaje cat mai largi de frecventa (de la 100 Hz la 100 kHz), fapt ce justifica studiul surselor de alimentare prezentate in Fig. 2 si in Fig. 3.

Studii actuale asupra imbunatatirii calitatii combustiei pentru motoarele cu ardere interna au propus producerea unor scantei duble alimentate de la o sursa in impulsuri de durate variabile si cu intarziere reglabilă in raport cu semnalul de sincronizare asa cum este si schema prezentata in Fig.3.

#### MULTUMIRI

Acet studiu a beneficiat de suportul financiar al proiectului Capacitati Modul III nr. 302/2009 finantat de ANCS.

#### 6. BIBLIOGRAFIE

- [1] Na tali M., Hnatiuc B., Herry J.-M., Hnatiuc E., Bellon-Fontaine M.N., Brisset J.-L., *Decontamination of Chemical and Microbial Targets Using Gliding Electrical Discharge*, Nova Science Publishers, 2009.
- [2] Hnatiuc E., Burlica R., Hnatiuc B., Todirasi G., *Environmental Impact of cold Plasma Discharges*, World Energy System Conference 2008, Iasi, 28 iunie - 2 iulie 2008.
- [3] Popa G., Gheorghiu M., *Aplicatii ale Fizicii Plasmei*, Editura Universitatii „Al. I. Cuza“, Iasi, 1998.
- [4] Hnatiuc E., Brisset J.-L., Hnatiuc B., Burlica R., *About the electrochemical reactors with cold plasma discharges enginnering*, European Research in cold Plasma Applications Conference, Iasi, 12-13 February 2007.
- [5] Lie L., Bin W., Chi Y., Chengkang W., *Characteristics of Gliding Arc Discharge Plasma*, Applied and Environmental Microbiology, Vol. 73, No. 18, p. 5904-5910, Sept. 2007.
- [6] Moreau M., Feuilloley M. G. J., Veron W., Meylheuc T., Chevalier S., Brisset J.-L., Orange N., *Gliding Arc Discharge in the Potato Pathogen Erwinia carotovora subsp. Atroseptica: Mechanism of Lethal Action and Effect on Membrane – Associated Molecules*.
- [7] Czernichowski A., Czernichowski P., *GlidArc – assisted cleaning of flue gas from conventional or chemical weapons destruction*.
- [8] [www.plasma.uaic.ro](http://www.plasma.uaic.ro).
- [9] [www.scribd.com](http://www.scribd.com).
- [10] [www.shutterstock.com](http://www.shutterstock.com).